

УДК 620.193

## ИССЛЕДОВАНИЕ ЗАЩИТНОЙ ЭФФЕКТИВНОСТИ ИНГИБИТОРОВ РЯДА ФОМ ПО ОТНОШЕНИЮ К СТАЛИ Ст3 В СЛАБОКИСЛЫХ И НЕЙТРАЛЬНЫХ СРЕДАХ, СОДЕРЖАЩИХ СЕРОВОДОРОД

© А.В. Можаров, Л.Е. Цыганкова

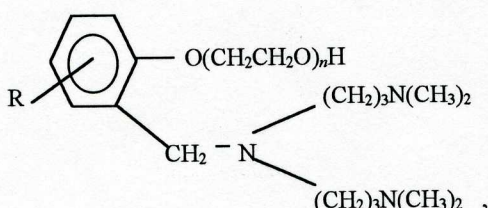
Mozharov A.V., Tsygankova L.E. The investigation of the protective efficiency of the inhibitors of MPB series with respect to St3 steel in the weak acidic and neutral media containing hydrogen sulfide. The slowing down of St3 steel corrosion by Mannich phenol bases (MPB) was investigated in the weak acidic and neutral media imitating layer waters of oilfields. The influence of inhibitor concentration and medium acidity on the duration of the experiments was considered. The electrochemical behaviour of St3 in the above media was studied. The influence of the inhibitors on the hydrogen diffusion through a steel membrane was studied too.

### ПОСТАНОВКА ПРОБЛЕМЫ

Потери от сероводородной коррозии составляют большую долю от общих коррозионных потерь. Они систематически возрастают с ростом добычи сернистых нефлей [1]. Надежность сохранения металлического оборудования нефтегазового комплекса в подобных условиях в значительной степени определяется эффективностью ингибиторной защиты. В качестве ингибиторов сероводородной коррозии часто используются азотосодержащие органические вещества, в частности, первичные и вторичные амины и гетероциклические соединения [2–4].

Несмотря на достаточно большое количество исследованных ингибиторов, и в настоящее время остается актуальным поиск новых эффективных замедлителей коррозии, обеспеченных дешевой сырьевой базой.

В связи со сказанным выше, целью данного исследования было изучение ингибирующего действия оксигенированных продуктов конденсации изононилфенола с тетраметилпропилентриамином (Фенольные Основания Манниха – ФОМ) по отношению к стали Ст3 в слабокислых и нейтральных средах, содержащих сероводород.



где  $R = C_9 H_{19}$

Были исследованы два вещества этого ряда:  
 $n = 0$  – ФОМ 9;  $n = 20$  – ФОМ 9-20.

### МЕТОДИКА ЭКСПЕРИМЕНТА

Методика гравиметрических коррозионных испытаний и поляризационных измерений описана в [5, 6]. Исследования проводились на углеродистой стали Ст3 состава, %: Fe – 98,36; C – 0,2; Mn – 0,5; Si – 0,15; P – 0,04; S – 0,05; Cr – 0,3; Ni – 0,2; Cu – 0,2. Продолжительность опытов составляла 6–720 часов. Коррозионной средой служили разбавленные растворы HCl (0,005–0,1 м) и модельные пластовые воды состава:

M1: 17,0 г/л NaCl; 0,20 г/л CaCl<sub>2</sub>; 0,20 г/л MgCl<sub>2</sub>·6H<sub>2</sub>O; 0,80 г/л NaHCO<sub>3</sub> (Самотлорское нефтяное месторождение)

M2: 163 г/л NaCl; 17,1 г/л CaCl<sub>2</sub>; 16,25 г/л MgCl<sub>2</sub>·6H<sub>2</sub>O; 0,14 г/л CaSO<sub>4</sub>·2H<sub>2</sub>O, которые насыщались сероводородом по методике [6].

Ингибиторы вводились в концентрации 10–200 мг/л. Их защитное действие  $Z$  рассчитывалось по обычной формуле [6].

Скорость массопереноса водорода оценивалась по методике [7] с использованием двухкамерной ячейки Деванатхана [8] (пирекс), разделенной вертикальной стальной мембраной и описанной в [6]. Изменение диффузионного потока водорода через мембрану в зависимости от состава раствора характеризовали коэффициентом  $\gamma_H = i_H^0 / i_H$ , где  $i_H^0$  и  $i_H$  – токи диффузии в фоновом растворе и в растворе с соответствующими добавками.

### ЭКСПЕРИМЕНТАЛЬНЫЕ РЕЗУЛЬТАТЫ И ОБСУЖДЕНИЕ

Введение сероводорода в фоновые растворы увеличивает скорость коррозии стали, особенно в имитатах пластовых вод (табл. 1).

Усиление коррозии стали объясняется тем, что сероводород ускоряет парциальные электродные реакции. По [9], ускорение анодной реакции ионизации

железа сероводородом аналогично действию  $\text{OH}^-$ , так как в обоих случаях на поверхности металла возникает катализатор: в первом случае –  $(\text{FeOH})_{\text{адс}}$ , во втором –  $(\text{FeHS})_{\text{адс}}$ .

Ускорение катодной реакции представляется в следующем виде, согласно [1]: на поверхности стального электрода происходит взаимодействие хемосорбированных ионов  $\text{HS}^-$  с ионами  $\text{H}_3\text{O}^+$  из раствора, с образованием катализатора – комплекса  $\text{Fe}(\text{H}-\text{S}-\text{H})_{\text{адс}}$ . Протоны этого комплекса восстанавливаются до атомов водорода, которые могут частично рекомбинировать, частично диффундировать в металл, вызывая водородную хрупкость. После восстановления протона из комплекса, ионы  $\text{HS}^-$  регенерируются на поверхности металла и снова присоединяют протоны.

Зашитный эффект исследуемых ингибиторов заметно повышается по сравнению с фоновыми растворами, не содержащими добавок сероводорода (табл. 2).

Таблица 1

Скорость коррозии стали в исследуемых растворах ( $K$ ,  $\text{г}/\text{м}^2 \cdot \text{ч}$ ). Числитель – без добавки  $\text{H}_2\text{S}$ , знаменатель – 100 мг/л  $\text{H}_2\text{S}$ ,  $t = 20^\circ\text{C}$ ,  $\tau = 24$  ч

Среда	0,005 м HCl	0,01 м HCl	0,1 м HCl	M1	M2
$K$	0,388 0,442	0,716 0,973	1,461 8,267	0,088 0,284	0,065 0,208

Таблица 2

Зашитное действие ингибиторов ( $Z$ , %) в фоновых растворах (числитель) и в присутствии 100 мг/л сероводорода (знаменатель).  $t = 20^\circ\text{C}$ ,  $\tau = 24$  ч

Среда	Концентрация ингибитора, мг/л				
	10	25	50	100	200
ФОМ 9					
0,005 м HCl	36 51	38 63	56 69	61 74	52 82
0,01 м HCl	82 84	83 85	84 89	84 95	78 95
0,1 м HCl	83 92	86 97	89 98	87 98	86 97
M1	3 40	13 58	14 70	22 71	20 74
M2	14 33	22 48	23 59	34 63	42 66
ФОМ 9-20					
0,005 м HCl	53 60	62 67	65 73	67 79	66 88
0,01 м HCl	77 79	82 86	81 92	84 95	82 98
0,1 м HCl	83 95	85 98	90 99	88 98	85 98
M1	5 42	8 51	9 63	14 69	6 70
M2	40 44	46 67	51 73	61 88	78 85

Наблюдаемый рост защитного действия ингибиторов в присутствии сероводорода обусловлен, очевидно, эффектом синергизма. Его чаще всего объясняют тем, что адсорбированные на железе анионы  $\text{HS}^-$  выполняют роль анионных мостиков, облегчающих адсорбцию ингибиторов катионного типа  $\text{R}^+$ . Кроме того, органические молекулы ингибитора могут образовывать с сероводородом нерастворимые соединения, создавая фазовый барьер [10].

По данным табл. 2, можно отметить рост  $Z$  с уменьшением pH среды. Это объясняется тем, что в кислых средах органические амины протонируются и в таком виде лучше адсорбируются на поверхности стали. Очевидно, с этим связана и более высокая величина  $Z$  в M2 по сравнению с M1, так как состав M2 способствует кислой реакции среды вследствие гидролиза солей.

В 0,1 м растворе  $\text{HCl}$ , содержащем  $\text{H}_2\text{S}$ ,  $Z$  приближается к 100 % и практически не зависит от концентрации ингибитора в интервале 50–100 мг/л. В менее кислых хлороводородных растворах, как и в модельных пластовых водах,  $Z$  систематически растет с увеличением концентрации ингибиторов в присутствии  $\text{H}_2\text{S}$ .

Скорость коррозии в растворах с добавками сероводорода увеличивается с ростом его концентрации (табл. 3). Значение  $Z$  при этом проходит через максимум, который в 0,01 м растворе  $\text{HCl}$  соответствует 100 мг/л, а в M1 – 200 мг/л  $\text{H}_2\text{S}$ .

Зашитное действие ингибиторов в 0,01 м растворе  $\text{HCl}$ , содержащем 100 мг/л  $\text{H}_2\text{S}$ , при увеличении времени экспозиции образцов до 720 часов заметно уменьшается, в то время как в имитате пластовой воды M1, наоборот, становится выше, чем при суточных испытаниях (табл. 4). А в солянокислых сероводородсодержащих средах это явление связано не с увеличением скорости коррозии во времени в присутствии ингибитора, а с уменьшением ее в фоновых растворах,

Таблица 3

Зависимость скорости коррозии ( $K$ ,  $\text{г}/\text{м}^2 \cdot \text{ч}$ ) (числитель) и зашитного действия ( $Z$ , %) (знаменатель) ингибиторов (100 мг/л) от концентрации сероводорода.  $t = 20^\circ\text{C}$ ,  $\tau = 24$  ч

Добавка ингибитора	Концентрация сероводорода, мг/л			
	50	100	200	400
0,01 м раствор $\text{HCl}$				
Отсутствует	0,714 —	0,973 —	1,038 —	1,233 —
ФОМ 9	0,052 93	0,051 95	0,114 89	0,204 83
ФОМ 9-20	0,102 86	0,051 95	0,134 87	0,319 74
M1				
Отсутствует	0,245 —	0,248 —	0,398 —	0,432 —
ФОМ 9	0,113 54	0,082 71	0,051 87	0,098 77
ФОМ 9-20	0,091 63	0,087 69	0,098 75	0,149 66

Таблица 4

Зависимость защитного действия ингибиторов ( $Z, \%$ ) от времени экспозиции образцов стали в растворах, содержащих 100 мг/л  $H_2S$  и  $C_{инт} = 100$  мг/л,  $t = 20^\circ C$

Добавка ингибитора	Время, ч			
	6	24	240	720
0,01 м раствор $HCl$				
ФОМ 9	93	95	84	68
ФОМ 9-20	96	95	79	69
M1				
ФОМ 9	72	71	86	84
ФОМ 9-20	74	69	83	77

так как в них на поверхности электродов образуется плотный слой продуктов коррозии, которые оказывают блокировочный эффект. В модельной воде этого не наблюдается.

Введение сероводорода в 0,01 м фоновый раствор  $HCl$  вызывает смещение потенциала коррозии ( $E_{кор}$ ) в катодную область и увеличение тока коррозии. Тафелевские наклоны  $b_k$  и  $b_a$  при этом не изменяются (рис. 1).

Рост кислотности среды при одной и той же концентрации сероводорода смещает потенциал коррозии в положительную сторону и увеличивает  $i_{кор}$ . Сопоставление скоростей саморастворения, полученных путем экстраполяции поляризационных кривых на  $E_{кор}$  и по данным гравиметрических испытаний, показывает удовлетворительную сходимость, что свидетельствует об электрохимическом механизме коррозии.

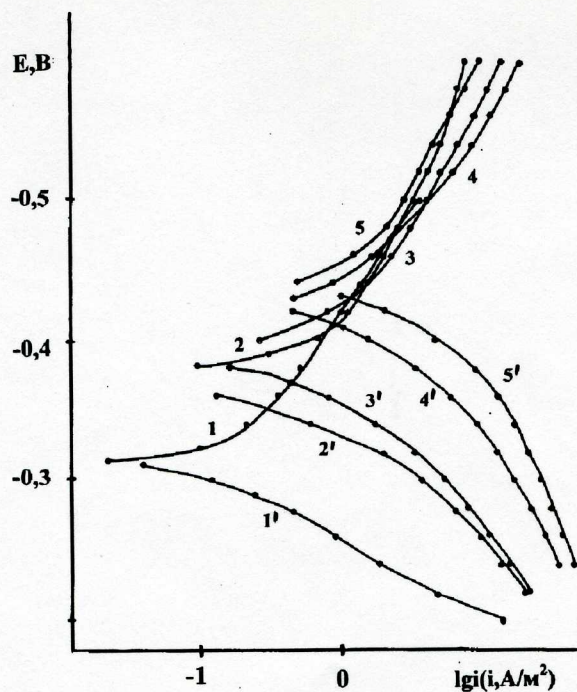


Рис. 1. Поляризационные кривые стали Ст3 в 0,01 м растворе  $HCl$ , содержащем сероводород, мг/л: 1 – 0, 2 – 50, 3 – 100, 4 – 200, 5 – 400

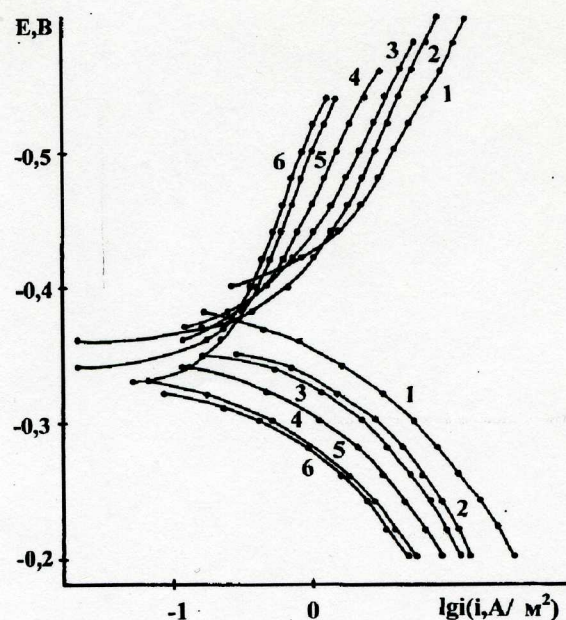


Рис. 2. Влияние концентрации ФОМ 9-20 на ход поляризационных кривых в 0,01 м растворе  $HCl$ , содержащем 100 мг/л  $H_2S$ . Концентрация ингибитора, мг/л: 1 – 0, 2 – 10, 3 – 25, 4 – 50, 5 – 100, 6 – 200

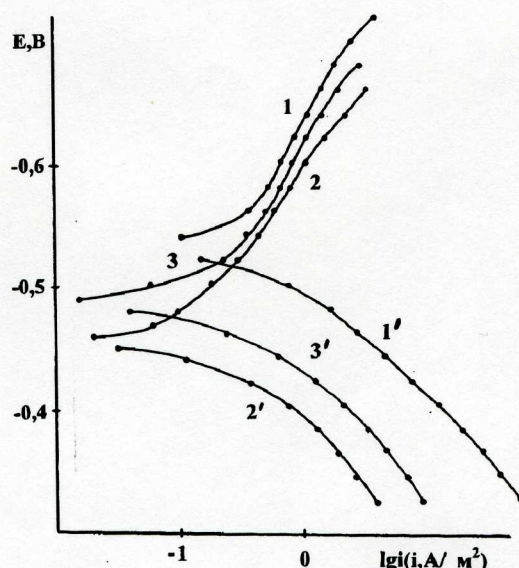


Рис. 3. Поляризационные кривые стали Ст3 в модельной пластовой воде M1, содержащей 100 мг/л сероводорода. 1 – без ингибитора, 2 – 100 мг/л ФОМ 9, 3 – 100 мг/л ФОМ 9-20

Увеличение концентрации ингибитора ФОМ 9-20 способствует облегчению катодного процесса в кинетической области и более существенному торможению анодной реакции ионизации металла при одновременном смещении  $E_{кор}$  в положительную сторону в 0,01 м растворе  $HCl$ , содержащем 100 мг/л  $H_2S$  (рис. 2). Следует отметить, что ингибитор уменьшает величину катодного предельного тока тем в большей степени, чем выше его концентрация. Это связано, очевидно, с тем, что увеличение катодного потенциала способству-

ет более полной адсорбции протонированной формы ингибитора и формированию защитной пленки на поверхности электрода, увеличивающей толщину диффузационного слоя. Значения тафелевских наклонов  $b_k$  и  $b_a$  не меняются, что, в первом приближении, говорит о неизменности механизма коррозии. Аналогичные результаты получены и для ФОМ 9.

В модельной пластовой воде М1 в присутствии 100 мг/л сероводорода ФОМ 9 и ФОМ 9-20 также являются ингибиторами анодного действия, при этом первый в большей степени замедляет анодный процесс, чем второй (рис. 3), что согласуется с его более высоким значением  $Z$  (табл. 2).

Исследование наводороживания стали в 0,01 м растворе соляной кислоты показало, что в условиях сероводородной коррозии увеличивается проникновение водорода в металл ( $i_H$ ,  $A/m^2$  возрастает с 0,186 в средах, не содержащих добавок, до 0,348). Это связано, очевидно, с тем, что  $H_2S$  замедляет стадию удаления адсорбированного водорода, увеличивая тем самым поверхностную концентрацию этих атомов и способствуя диффузии вглубь металла.

Исследование влияния ингибиторов на этот процесс показало их достаточную эффективность как замедлителей наводороживания (табл. 5).

По данным таблицы 5 можно отметить более высокую эффективность ФОМ 9, что объясняется, очевидно, уменьшением молярной концентрации ФОМ 9-20 за счет повышения его молярной массы.

Таблица 5

Скорость диффузии водорода ( $i_H$ ,  $A/m^2$ ) через стальную мембрану (числитель) и коэффициент его диффузии (знаменатель) в зависимости от концентрации ингибитора в 0,01 м растворе соляной кислоты.  $H_2S = 100$  мг/л,  $t = 20-22$  °C ( $\tau = 2$  ч)

Ингибитор	Концентрация ингибитора			
	25	50	100	200
ФОМ 9	0,128	0,080	0,085	0,095
	2,72	4,35	4,09	3,66
ФОМ 9-20	0,125	0,132	0,122	0,162
	2,78	2,63	2,85	2,15

Наличие минимумов тока диффузии водорода, возможно, определяется тем, что ингибиторы оказывают двойное действие: с одной стороны, снижая скорость общей коррозии, они замедляют процесс образования водорода, а с другой, – ускоряют удаление  $H_{ads}$  в газовую фазу. С увеличением концентрации ингибитора изменяется и соотношение скоростей этих процессов.

Полученные данные не позволяют сделать обобщенное заключение о влиянии ингибирующих добавок на механизм и кинетику катодного процесса, но эффективность исследуемых веществ, как замедлителей наводороживания, они характеризуют достаточно полно.

## ВЫВОДЫ

1. Исследуемые Фенольные Основания Манниха проявляют достаточно высокое защитное действие по отношению к стали Ст3, которое увеличивается с ростом их концентрации и уменьшением pH среды, содержащей сероводород.

2. Торможение коррозии стали, протекающей по электрохимическому механизму, осуществляется вследствие замедления данными ингибиторами анодного процесса ионизации металла.

3. Изучаемые ингибиторы являются достаточно эффективными замедлителями наводороживания стали в сероводородсодержащих солянокислых растворах.

## ЛИТЕРАТУРА

1. Розефельд И.Л. Ингибиторы коррозии. М.: Химия, 1977. 350 с.
2. Подобаев Н.И. и др. // Защита металлов. 1987. Т. 23. № 4. С. 709.
3. Подобаев Н.И., Козлов А.Н. // Защита металлов. 1988. Т. 24. № 2. С. 336.
4. Маркин А.Н. // Защита металлов. 1994. Т. 30. № 1. С. 51.
5. Можаров А.В., Цыганкова Л.Е., Иванов Е.С. // Вестн. Тамб. ун-та. Сер. Естеств. и техн. науки. Тамбов, 2002. Т. 7. Вып. 1. С. 148-152.
6. Цыганкова Л.Е., Можаров А.В., Иванищенков С.С., Косьяненко Е.С. // Вестн. Тамб. ун-та. Сер. Естеств. и техн. науки. Тамбов, 2002. Т. 7. Вып. 2. С. 286-290.
7. Кардаш Н.В., Батраков В.В. // Защита металлов. 1995. Т. 31. № 4. С. 441-444.
8. Devanathan M.A., Stachurski L. // Proc. Roy. Soc. 1962. V. 90. P. A270.
9. Иоффе З.А. // Защита металлов. 1970. Т. 6. № 5. С. 491.
10. Антропов Л.И., Панасенко В.Ф. // Итоги науки и техники. Сер. Коррозия и защита от коррозии. М.: ВИНТИ, 1975. Т. 4. С. 46-112.

Поступила в редакцию 17 декабря 2002 г.